

ИЗОЛИРОВАННЫЕ ТРИПЛЕТЫ ГАЛАКТИК: ПОЛНАЯ СВОДКА ЛУЧЕВЫХ СКОРОСТЕЙ И РЕДУЦИРОВАННЫЕ ДАННЫЕ

В. Е. Каракенцева, И. Д. Каракенцев, В. С. Лебедев

Представлена полная сводка лучевых скоростей компонентов тройных галактик из списка [1]. Основная часть наблюдений выполнена на 6-м телескопе. Приведены также уточненные морфологические типы галактик, их спектральные признаки, угловые диаметры, приведенные к изофоте $25m/\square''$ (a_{25}), и видимые звездные величины, редуцированные к системе Холмберга (m_{Ho}^c). Кратко обсуждаются общие характеристики выборки triplets.

The complete data for radial velocities of all components of triple galaxies from the list [1] are presented. The main part of observations was accomplished with the 6-meter telescope. The revised morphological types, spectral indexes, angular diameters reduced to the isophote $25 \text{ mag}/\square''$ (a_{25}), and the apparent magnitudes reduced to the Holmberg system (m_{Ho}^c) are also given. The general characteristics of the triplets sample are discussed briefly.

Опубликованный в 1979 г. список изолированных triplets галактик [1] содержит 84 тройные системы с видимой величиной галактик $m_p \leq 15.7$ и склонением $\delta > -3^\circ$. Отбор галактик делался на основе Паломарского атласа неба и каталога Цвики и соавторов [2]. Эмпирически подобранный критерий изолированности [1] выделял тройные системы с учетом галактик переднего и дальнего фона так, что контраст поверхностной плотности triplets над общим фоном составлял ~ 10 . Спектральные наблюдения галактик в triplets велись на 6-м телескопе САО АН ССР (БТА) с 1977 по 1984 г. [3, 4]; к настоящему времени, с учетом наблюдений других авторов, все галактики списка [1] имеют измеренные лучевые скорости. Детальное изучение triplets № 69 [5] показало, что это — пекулярная галактика с большими внутренними движениями. Морфологические типы галактик в triplets были определены заново. Кроме того, угловые диаметры, измеренные на картах Паломарского атласа, были приведены к системе a_{25} и звездные величины Цвики пересчитаны к m_{Ho}^c , как это было сделано для изолированных и двойных галактик в [6].

Анализ динамической ситуации в triplets, а также сравнение нашего списка с подвыборкой тройных систем в списке групп Геллер и Хухры [7], будут сделаны в отдельных работах.

В настоящей работе приводятся полная сводка наблюдательных данных и очень краткое описание основных характеристик triplets.

Каталог

В табл. 1 представлены следующие данные для изолированных triplets галактик (по столбцам).

- 1 — номер triplets и наименование компонента по возрастанию прямого восхождения;
- 2 — выполнение критерия изолированности [1] для каждого компонента;
- 3, 4 — прямое восхождение и склонение на эпоху 1950.0;
- 5, 6 — галактические координаты l^{II} , b^{II} ;
- 7 — угловой диаметр a_{25} (большая ось), выраженный в минутах дуги, редуцированный к изофоте $25m/\square''$, согласно [6];
- 8 — отношение осей b_{25}/a_{25} , вычисленное согласно [6];

- 9 — видимая звездная величина компонента, приведенная к системе Холмберга с учетом поправки за том Цвики и исправленная за галактическое поглощение, K -поправку, внутреннее поглощение, согласно [6] ($m_{\text{H}\alpha}^c$ близка к B_T^0 в системе де Вокулера). Если в списке [1] была приведена суммарная звездная величина двух или трех компонентов, то она разделялась в соответствии с их угловыми размерами и в предположении равной поверхности яркости «слившихся» галактик;
- 10 — проекция видимого углового расстояния между компонентами x в минутах дуги. Для каждого триплета в верхней строке дано x_{AB} , во второй — x_{BC} , в последней — x_{CA} ;
- 11 — конфигурация триплета, согласно [4];
- 12 — уточненный морфологический тип галактики. Объекты были разбиты на 6 классов: E, S0, Sa, Sb, Sc, Sm. В класс Sm входят как разрушенные спирали, так и иррегулярные галактики. Спиральные галактики Sa—Sb—Sc содержат также пересеченные спирали;
- 13 — спектральный индекс галактики, характеризующий число и интенсивность эмиссионных линий. Мы придерживались классификации Тифта [8]: A — объекты с чисто абсорбционными спектрами, W — галактики с одной-двумя эмиссионными линиями, M — галактики с умеренно интенсивными эмиссиями, S — галактики, спектры которых богаты яркими эмиссиями. Определение спектрального индекса было выполнено в основном по спектрам, полученным на БТА, и в некоторых случаях по литературным данным;
- 14 — лучевая скорость v_0 , км/с, исправленная за движение Солнца;
- 15 — внутренняя ошибка измерения лучевой скорости $\pm \sigma_v$, км/с;
- 16 — ссылка на источник определения лучевой скорости. Скорости со ссылкой КК84 получены на БТА в 1984 г. и ранее не публиковались. Расшифровка ссылок дана в примечаниях к табл. 1. Описание отдельных объектов списка, их спектров и отождествление с другими каталогами и списками были опубликованы в статьях [1, 3, 4].

Отождествление триплетов с группами списка Геллер, Хухры [7] дано в табл. 2. Триплеты, входящие в состав скоплений галактик [9], приведены в табл. 3.

Некоторые общие характеристики

Лучевые скорости и пространственное распределение. Большинство лучевых скоростей галактик в триплетах было измерено на БТА. Сравнение $v_{\text{БТА}}$ с измерениями других авторов [10, 11], которые относятся в основном к наблюдениям в линии 21 см, по 40 общим галактикам дает удовлетворительное согласие.

Средняя разность оценок $\langle \Delta v_{\text{БТА}} - \text{др. а.} \rangle = (-18 \pm 18)$ км/с, средняя квадратичная разность $\langle \Delta v^2 \rangle^{1/2} = 112$ км/с и средняя квадратичная сумма внутренних ошибок наблюдений $\langle \sigma_{\text{БТА}}^2 + \sigma_{\text{др. а.}}^2 \rangle^{1/2} = 83$ км/с. На рис. 1 представлено распределение компонентов 83 триплетов по исправленным лучевым скоростям, где отчетливо выделяются пики на 1500, 4500 и 6500 км/с.

Общее распределение по небу центров триплетов приведено на рис. 2. Разными символами обозначены тройные системы, попадающие в различные ин-

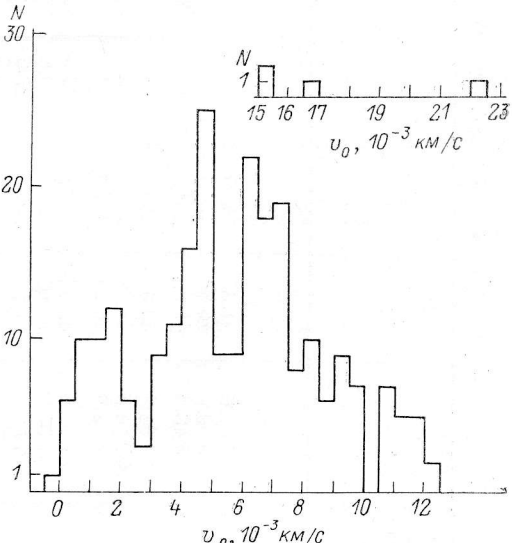


Рис. 1. Распределение тройных систем галактик по лучевым скоростям.

тервалы лучевых скоростей, соответствующих примерно расстояниям до Местного сверхскопления, сверхскопления в Рыбах—Персее и до сверхскопления Кона/А 1367.

Можно отметить небольшое скучивание тройных систем на периферии сверхскопления Кона/А 1367. Не наблюдается повышенной плотности триплетов в области сверхскопления Рыбы—Персей.

Т А Б Л И ЦА 1
Лучевые скорости и редуцированные данные изолированных триплетов галактик

ТАБЛИЦА 1 (продолжение)

1	2	3	4	5	6	7	8	9	10	11	12	13	14	15	16
24A	++-	09 24.0	02 20	230.4	34.4	1.67	0.84	12.99	2.6	T	Sb	W	4196	42	KK 84
24B	++-	09 21.2	02 19	230.5	34.4	1.08	0.80	14.33	3.7		Sb	W	6856	46	KK 81
24C	++-	09 24.5	02 20	230.5	34.5	0.80	0.48	14.36	7.2		Sb	M	10750	45	KK 81
25A	++-	09 39.9	32 05	194.6	49.0	2.49	0.59	11.54	6.2'	L	Sb	M	1202	40	KK 81
25B	++-	09 40.2	32 10	194.5	49.1	1.99	0.49	12.54	4.9		Sb	A	1530	80	KK 81
25C	++-	09 40.6	32 13	194.4	49.2	0.83	0.86	14.27	14.0		Sa	A	1531	30	KK 81
26A	++-	09 45.6	33 39	192.3	50.3	4.62	0.28	14.53	30.2	D	Sc	M	1500	45	KK 81
26B	++-	09 48.0	33 47	192.2	50.8	1.37	0.61	12.23	146.2		Sa	M	1376	38	KK 81
26C	++-	09 55.4	32 37	194.2	52.3	1.96	0.40	12.16	138.0		Sa	M	1398	45	KK 81
27A	+++	09 47.4	42 56	222.5	45.2	1.81	0.57	13.06	8.4	T	Sb	W	8828	30	KK 81
27B	+++	09 47.4	43 03	222.4	45.3	2.97	0.55	12.54	5.7		Sb	M	1203	26	KK 81
27C	+++	09 47.8	43 00	222.5	45.4	1.97	0.45	12.84	9.9		Sb	M	1214	14	KK 81
28A	+++	09 51.4	69 48	142.4	40.9	18.53	0.50	7.52	37.0	T	Sb	A	95	5	RC2 76
28B	+++	09 51.7	69 55	141.4	40.6	8.28	0.33	8.61	68.0		Sb	M	388	6	RC2 76
28C	+++	09 59.4	68 58	141.9	41.7	3.82	0.46	10.20	46.5		Sb	S	148	9	RC2 76
29A	+++	10 24.8	01 30	243.7	46.9	0.47	0.51	14.42	1.2	D	S0	A	9148	60	KK 81
29B	+++	10 24.9	01 31	243.7	46.9	4.48	0.81	14.06	0.4		Sb	A	6383	42	KK 81
29C	+++	10 33.8	42 57	230.8	55.3	1.68	0.70	13.56	10.8'	T	Sb	A	6454	25	KK 81
30A	+++	10 34.5	43 02	230.8	55.5	0.99	0.89	14.67	7.3		Sb	S	462	30	CIA 83
30B	+++	10 34.5	42 54	234.0	55.4	1.37	0.33	13.40	11.8		Sb	S	9738	20	KK 81
30C	+++	10 38.9	21 28	217.4	59.9	0.93	0.75	14.99	3.6	T	Sa	A	6396	20	KK 81
31A	+++	10 39.0	21 35	216.9	59.9	1.35	0.77	14.49	4.5		Sb	M	7461	60	KK 81
31B	+++	10 39.4	21 31	217.4	59.9	0.74	0.46	14.86	7.8		Sb	S	7395	43	KK 81
31C	+++	10 44.5	07 30	241.2	54.4	0.46	0.53	14.78	1.4	D	Sa	V	7336	10	KK 81
32A	+++	10 44.5	07 32	241.1	54.5	0.58	0.49	14.23	5.4		Sb	V	756	27	RC2 76
32B	+++	10 44.8	07 31	241.2	54.5	1.10	0.91	13.80	4.8		Sb	V	897	20	KK 81
32C	+++	10 45.2	42 51	233.5	57.6	4.59	0.89	8.97	7.3		Sb	S	6395	60	KK 81
33A	+++	10 45.7	42 54	233.5	57.8	5.20	0.50	9.20	6.5		Sa	V	6045	40	KK 81
33B	+++	10 45.8	42 48	233.7	57.7	2.69	0.46	11.42	9.5		Sb	M	7397	40	KK 81
33C	+++	10 55.6	75 28	431.9	39.9	1.36	0.77	13.96	8.4	T	Sb	V	756	27	RC2 76
34A	+++	10 58.0	75 29	431.8	40.0	1.11	0.40	14.07	6.8		Sb	M	7571	33	KK 81
34B	+++	10 59.2	75 24	431.7	40.1	1.20	0.90	13.31	13.8		Sb	V	7337	28	KK 81
34C	+++	11 06.1	26 54	208.3	67.4	4.26	0.46	14.51	1.0'	D	Sb	M	6559	45	KK 81
35A	+++	11 06.2	26 53	208.3	67.2	0.85	0.44	14.92	3.0		Sb	M	14259	26	KK 81

ТАБЛИЦА 1 (продолжение)

1	2	3	4	5	6	7	8	9	10	11	12	13	14	15	16
49A 49B 49C	+++	13 43.7 13 43.8 13 43.9	-03 08 -03 14 -03 10	328.5 328.5 328.6	56.7 56.7 56.7	1.40 0.78 0.52	1.00 0.46 0.90	14.62 14.32 15.02	2.5 0.8 3.0	D Sa Sb	W A E	6728 6899 7088	30 40 45	KK 83 KK 83 KK 83	
50A 50B 50C	+--	13 51.3 13 51.4 13 51.4	40 36 40 34 40 32	82.8 82.6 82.6	71.6 71.6 71.6	3.04 2.07 0.54	4.00 11.99 11.42	5.0' 1.3 1.3	D D D	Sb S0 S0	E A E	2440 2145 2145	8 23 23	R 80 RG2 76 RG2 76	
51A 51B 51C	+++	13 54.7 13 54.7 13 54.8	12 16 12 45 12 44	351.7 351.7 351.7	68.4 68.4 68.4	0.75 0.81 0.69	1.00 0.40 1.00	13.29 13.93 14.43	4.4 1.9 3.1	L Sa Sb	W W W	6309 6072 5989	44 44 35	KK 81 KK 81 KK 81	
52A 52B 52C	++-	13 59.5 13 59.5 13 59.6	-01 07 -01 09 -01 08	336.6 336.6 336.6	56.8 56.8 56.8	1.22 0.62 0.85	1.00 0.82 0.26	13.91 14.42 14.46	2.4 1.8 2.5	T Sb Sb	A A A	7400 7418 7403	40 30 50	KK 84 KK 84 KK 84	
53A 53B 53C	+-	14 01.8 14 02.0 14 02.4	16 34 16 32 16 31	4.0 4.0 4.1	70.0 69.9 69.8	2.47 0.60 0.73	0.08 0.81 0.81	14.46 13.87 14.75	2.6 5.5 8.1	L Sc S0	M E W	4116 4144 7810	45 45 20	KK 81 KK 81 KK 81	
54A 54B 54C	++	14 17.5 14 17.8 14 18.0	04 43 04 09 04 42	349.2 349.3 349.4	58.7 58.6 58.6	2.93 5.10 1.65	0.43 0.26 0.63	12.38 10.86 13.88	4.8 4.3 7.0	T Sb Sb	S M S	1682 1489 1694	8 68 45	R 80 RC2 76 KK 81	
55A 55B 55C	+-	14 48.4 14 48.5 14 48.7	03 28 03 30 03 40	348.6 348.7 349.0	57.9 57.9 58.0	4.18 2.78 2.61	0.62 0.52 0.23	12.61 11.39 12.43	2.8' 10.4 12.7	D S0 Sb	E E Sb	1685 1466 1455	50 58 8	RC2 76 R 80 R 80	
56A 56B 56C	---	14 20.4 14 20.4 14 20.6	06 24 06 24 06 23	353.0 353.1 353.2	59.9 59.8 59.8	0.91 0.66 0.59	0.24 0.37 0.43	14.35 14.54 14.60	3.5 3.9 7.4	L Sb Sb	M W A	6650 16878 15060	30 75 40	KK 83 KK 84 KK 84	
57A 57B 57C	++	14 24.8 14 25.0 14 25.0	05 04 05 00 05 02	352.8 352.9 352.9	58.0 58.0 58.0	2.04 0.91 1.00	0.54 0.24 0.24	12.96 14.42 14.42	3.4 2.6 2.6	T Sb Sb	S M W	8353 9400 8142	30 100 40	KK 84 KK 81 KK 81	
58A 58B 58C	+-	14 44.4 14 44.2 14 44.3	11 25 11 22 11 26	7.2 7.2 7.3	59.2 59.2 59.2	4.02 0.94 0.76	0.70 0.09 0.73	13.94 14.25 14.31	4.4 4.8 2.7	T Sb Sb	A M M	8438 10960 10738	35 30 30	KK 84 KK 83 KK 83	
59A 59B 59C	---	15 45.3 15 45.5 15 45.7	69 30 69 28 69 31	106.4 106.4 106.4	42.9 42.9 42.9	0.99 0.38 0.38	0.87 0.68 0.68	14.74 14.83 15.49	2.8 3.9 4.5	T S0 E	E A W	6959 7047 6857	44 54 96	KK 83 KK 83 KK 83	
60A 60B	---	15 47.8 15 47.9	03 42 03 43	5.9 6.0	47.3 47.3	0.75 0.59	0.70 0.43	13.84 14.67	4.5' 6.5	D Sb	A A	14246 11086	40 60	KK 83 KK 83	

ТАБЛИЦА 1 (продолжение)

1	2	3	4	5	6	7	8	9	10	11	12	13	14	15	16
74A	+++	21 53.3	05 34	64.1	-36.3	0.76	0.83	14.62	6.8	D	Sa	M	8952	20	KK 84
74B		21 53.5	05 40	64.2	-36.3	1.29	0.72	13.75	0.6		Sa	A	8947	65	KK 84
74C		21 53.5	05 40	64.2	-36.3	0.35	0.35	17.49	7.2	L	S0	A	9396	30	KK 84
75A	+++	22 41.7	09 43	78.8	-44.7	0.54	4.00	14.58	2.5'		Sa	M	7632	75	KK 84
75B		22 41.7	09 45	78.9	-44.7	0.83	0.70	14.71	2.5		Sa	A	7430	20	KK 84
75C		22 41.7	09 48	78.9	-44.7	0.66	1.00	14.62	4.9		Sa	A	7579	30	KK 84
76A	+++	22 46.3	27 21	92.2	-27.8	1.29	0.54	14.04	1.7	T	Sb	M	9918	30	KK 84
76B		22 46.4	27 19	92.2	-27.9	1.25	4.00	13.47	2.2		Sc	M	9874	30	KK 84
76C		22 46.5	27 18	92.2	-27.9	0.30	1.00	15.44	3.8		E	A	9668	40	KK 84
77A	+++	23 08.1	08 55	85.5	-46.2	0.76	0.81	14.69	3.9	D	S0	A	11850	30	KK 84
77B		23 08.3	08 52	85.5	-46.3	0.39	0.68	14.82	0.5		E	A	11648	70	T 80
77C		23 08.3	08 52	85.5	-46.3	0.39	0.68	14.82	3.8		E	A	11762	70	T 80
78A	+++	23 42.5	18 42	93.4	-38.3	1.01	0.24	13.85	2.7	T	Sa	M	5093	71	R 80
78B		23 42.8	18 44	93.5	-38.4	1.25	1.00	13.45	4.8		E	M	5222	71	R 80
78C		23 42.8	18 46	93.6	-38.3	2.41	0.22	12.95	5.2		Sm	M	5041	71	R 80
79A	+++	23 19.4	26 51	99.4	-31.6	0.80	0.28	14.57	2.5	D	Sc	M	6134	30	KK 83
79B		23 19.2	26 49	99.4	-31.6	1.01	0.24	14.39	1.0		Sc	M	6272	20	KK 84
79C		23 19.2	26 48	99.4	-31.7	1.44	0.44	14.48	3.3		Sc	M	5964	25	KK 84
80A	+++	23 49.7	40 35	105.2	-48.9	7.86	0.46	10.32	42.0'	T	Sc	W	642	6	RC2
80B		23 22.3	41 04	105.9	-18.6	1.88	0.94	13.42	62.8		Sm	W	859	20	KK 81
80C		23 27.6	40 43	106.8	-49.3	3.07	0.35	14.35	89.0		Sm	M	649	10	FT 75
81A	+++	23 38.3	77 58	119.2	45.9	1.00	0.46	14.32	1.7	D	Sa	A	4444	38	KK 81
81B		23 39.0	77 58	119.3	45.9	0.33	1.00	14.80	5.2		E	A	4607	35	KK 81
81C		23 39.9	77 54	119.3	45.8	2.24	1.00	14.43	6.3		E	A	4294	41	KK 81
82A	++-	23 48.5	19 52	104.2	-40.5	3.55	0.83	12.01	5.9	D	Sa	M	4570	74	RC2 86
82B		23 48.8	19 49	104.2	-40.6	0.74	0.81	13.79	1.1		E	M	4558	76	RC2 86
82C		23 48.9	19 50	104.3	-40.6	1.92	0.32	12.49	5.3		Sb	A	4510	53	RC2 86
83A	+++	23 58.0	28 07	109.6	-33.2	1.40	0.37	14.08	1.7	D	Sb	A	9084	20	KK 81
83B		23 58.1	28 08	109.6	-33.1	0.65	0.63	14.86	0.7		Sc	A	9066	127	KK 81
83C		23 58.2	28 08	109.6	-33.1	0.81	1.00	13.83	2.2		E	A	8259	83	KK 81
84A	+++	23 59.4	23 43	108.4	-38.0	2.44	0.50	12.29	4.1	D	Sc	M	4603	10	KK 81
84B		23 59.2	23 44	108.4	-38.0	1.25	0.36	13.04	30.8		Sc	M	4660	16	KK 81
84C		00 04.0	22 56	108.9	-38.3	2.03	0.34	12.96	31.4		Sc	M	7420	40	KK 81

Примечания.

RC2 76 — G. de Vaucouleurs, A. de Vaucouleurs, H. G. Corwin. Second Reference Catalogue of Bright Galaxies. Univ. of Texas Press, Austin, 1976.

KSZ₇₉ — И. Д. Каракенцев, Б. В. Саркент, Б. Пиммерман // Астрофизика. 1979. 45, С. 25.

KK 81 — И. Д. Каракенцев, В. Е. Каракенцева // Астрофизика. 1981. 47, С. 5. CMA 83 — J. Huchra, M. Davis, D. Latham, J. Tonry // Ap. J. Suppl. ser. 1983. 52. p. 89.

KK 83 — В. Е. Каракенцев // Астрофизика. 1983. 49, С. 613.

RC2 86 — H. L. Read. A Catalog of Galaxy Redshifts, Prepr. 1980.

KK 84 — И. Д. Каракенцев, Б. Е. Каракенцева // Астрофизика. 1980. 22, С. 433.

FT 75 — J. R. Fisher, R. B. Tully // Astron. Astrophys. 1975. 44, P. 455. FT 80 — W. Tifft // Ap. J. 1980. 239, P. 445.

ТАБЛИЦА 2
Триплеты, входящие в состав групп Геллер, Хухры

Одним компонентом		Двумя компонентами		Тремя компонентами	
№ триплета и компонента	№ группы	№ триплета и компонента	№ группы	№ триплета и компонента	№ группы
5С	12 (5)	8А	22 (5)	26А, В, С	50 (8)
25В	50 (8)	8С	18 (4)	28А, В, С	52 (5)
30А	68 (23)	9А, В	31 (3)	33А, В, С	68 (23)
51А	125 (8)	22В, С	45 (4)	50А, В, С	123 (17)
83С	173 (10)	23А, С	46 (4)	62А, В, С	156 (4)
		45В, С	111 (3)	64А, В, С	158 (5)
		54А, В	139 (6)		

Приложение. В скобках указано число членов в группе Геллер, Хухры.

Самые близкие триплеты располагаются на периферии Местного сверхскопления галактик. Эффект Местного сверхскопления отчетливо виден также на рис. 3, где представлены зависимости $\lg N (m_{\mathrm{H}_0}^{\mathrm{g}})$ отдельно для ярчайшего,

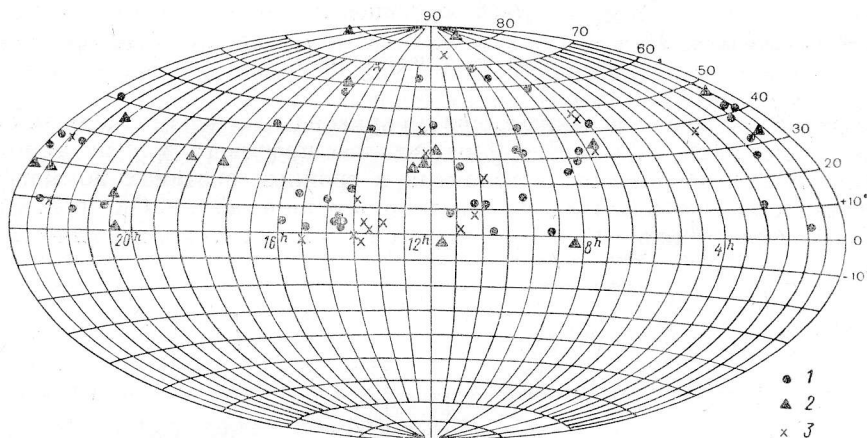


Рис. 2. Распределение центров триплетов в экваториальных координатах α , δ (1950). Выделены тройные системы с разностью скоростей $\Delta v_{ij} \leq 500$ км/с в интервалах лучевых скоростей, км/с:
1 — 0—2500, 2 — 2500—5500, 3 — 5500—8500.

второго и слабейшего компонентов триплетов. Превышение над однородным распределением заметно вплоть до 14-й звездной величины. Отклонение от однородного распределения на слабом конце обусловлено пределом $15^m 7$ используемого

ТАБЛИЦА 3
Триплеты, входящие в скопления галактик

№ триплета	$\langle v_0 \rangle$, км/с	Скопление Цвикки	$\langle v_0 \rangle$, км/с	Число галактик с известными v_0
2	5510	535 — 6	5875	4
12	6276	204 — 1	5926	3
14	6097	234 — 3	6028	14
39	3129	157 — 17	3192	6
43	6749	160 — 1	6864	291
75	7547	430 — 21	7819	15
77	11753	406 — 13	12405	3
78	5119	454 — 11*	5113	2

* В области этого скопления еще известны две галактики с $\langle v_0 \rangle = 1873$, одна — с $\langle v_0 \rangle = 12253$ и одна с $\langle v_0 \rangle = 4173$.

зованного каталога Цвикки и др. [2]. Слабое протяжение до 17^m5 связано с разделением «слившихся» компонентов.

Морфологические типы, спектральные признаки и поверхностные яркости. Наша выборка триплетов отличается несколько повышенным содержанием га-

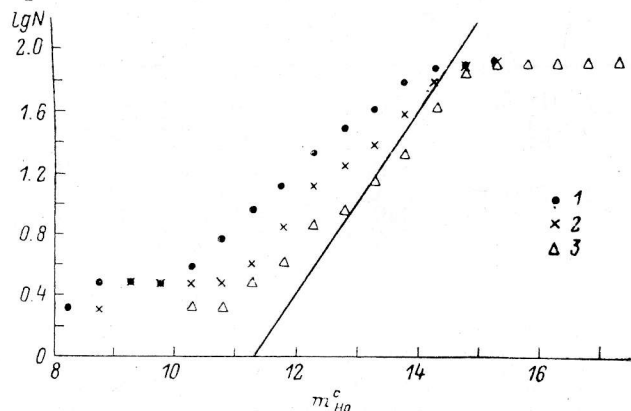


Рис. 3. Зависимость логарифм числа — исправленная звездная величина для компонентов тройных систем.

Компонент: 1 — ярчайший, 2 — второй по яркости, 3 — слабейший. Прямая линия соответствует однородному распределению.

лактик ранних морфологических типов по сравнению с изолированными галактиками каталога [12]: 29 % E+S0 в триплетах против 18 % у изолированных галактик. Распределение числа галактик в тройных системах по морфологическим типам и спектральным признакам приведено в табл. 4. Оно подтверждает известную корреляцию: абсорбционные спектры характерны для галактик

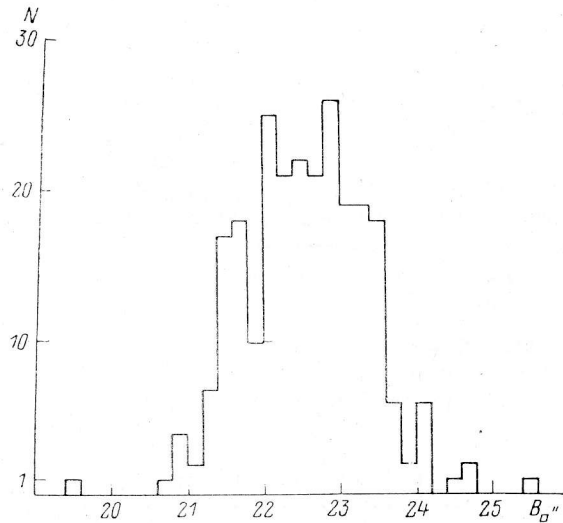


Рис. 4. Распределение компонентов тройных систем по средним поверхностным яркостям.

ранних типов. Для E+S0 галактик отношение $n_A/n_S=16/1$, а для Sc+Sm типов $n_A/n_S=1/2$. Подобное соотношение было получено для двойных галактик [6].

Средние поверхностные яркости компонентов тройных систем $B_{\square''}$ в системе a_{25} , $m_{H_0}^c$ вычислялись так же, как в работе [6] для изолированных и двойных галактик. Распределение компонентов триплетов по $B_{\square''}$ приведено на рис. 4. Среднее значение поверхностной яркости составляет 22.56 ± 0.05 (средняя ошибка среднего) со стандартным отклонением $\sigma_B=0.82$. Оно в пределах ошибок совпадает с соответствующими значениями $\langle B_{\square''} \rangle = 22.69 \pm 0.02$ ($\sigma_B=0.60$) и $\langle B_{\square''} \rangle = 22.72 \pm 0.02$ ($\sigma_B=0.82$) для двойных и изолированных галактик.

ТАБЛИЦА 4
Распределение числа тройных галактик по морфологическим типам
и спектральным признакам

тип	A	W	M	S	Все спектры
E	31 (25)	3 (2)	2 (1)	1 (0)	37 (28)
S0	16 (11)	5 (2)	2 (2)	2 (2)	25 (17)
Sa	14 (10)	11 (6)	17 (13)	6 (5)	48 (34)
Sb	14 (7)	15 (7)	25 (17)	7 (7)	61 (38)
Sc	3 (1)	5 (2)	24 (14)	8 (5)	40 (22)
Sm	1 (1)	1 (1)	4 (3)	4 (4)	10 (9)
Все типы	79 (55)	40 (20)	74 (50)	28 (23)	221 (148)

П р и м е ч а н и е. В скобках указаны компоненты триплетов с взаимными разностями лучевых скоростей $\Delta v_{ij} \leqslant 500$ км/с.

Как видно из табл. 5, у компонентов тройных систем средняя поверхностная яркость падает примерно на 1 зв. вел. при переходе от ранних типов к поздним — точно так же, как у изолированных галактик [6]. При этом $\langle B_{\square''} \rangle$ для Е-галактик в пределах ошибок одинаковы у изолированных и тройных систем. В триплетах наблюдается падение средней поверхностной яркости при переходе от галактик с абсорбционными спектрами к эмиссионным галактикам. В этом отличие выборки тройных галактик от двойных, где отмечена противоположная тенденция [6]. Однако галактики с сильными эмиссиями имеют практически одинаковую среднюю поверхностную яркость ($\langle B_{\square''} \rangle = 22.30 \pm 0.14$ у тройных и $\langle B_{\square''} \rangle = 22.38 \pm 0.05$ у двойных систем).

ТАБЛИЦА 5
Зависимость средней поверхностной яркости компонентов триплетов
от морфологического типа (Ty) и спектрального признака (Sp)

$\langle B \rangle_{\square''} Ty$					
E	S0	Sa	Sb	Sc	Sm
21.91 ± 0.14 (n=41)	22.22 ± 0.16 (29)	22.64 ± 0.09 (52)	22.73 ± 0.08 (69)	23.07 ± 0.09 (45)	22.74 ± 0.34 (13)

$\langle B \rangle_{\square''} Sp$			
A	W	M	S
22.36 ± 0.10 (n=79)	22.46 ± 0.10 (40)	22.82 ± 0.08 (74)	22.30 ± 0.14 (28)

Детальное рассмотрение отмеченных закономерностей не является предметом настоящей работы. Мы полагаем, что представленная здесь полная и однородная выборка наблюдательных данных послужит основой для более рафинированного изучения тройных систем галактик.

Литература

- Караченцева В. Е., Караченцев И. Д., Щербанинский А. Л. Изолированные триплеты галактик. 1: Список // Астрофиз. исслед. (Изв. САО). 1979. 11. С. 3—39.
- Catalogue of galaxies and of clusters of galaxies / F. Zwicky, E. Herzog, M. Karpowicz et al. California Institute of Technology, 1961—1968. Vol. I—VI.
- Караченцев И. Д., Караченцева В. Е. Изолированные триплеты галактик. Новые лучевые скорости // Астрофизика. 1981. 17. С. 5—18.
- Караченцева В. Е., Караченцев И. Д. Лучевые скорости и виртуальные массы нескольких изолированных триплетов галактик // Астрофизика. 1983. 19. С. 613—617.

5. Каракециев И. Д., Каракециева В. Е., А. Л. Щербанинский. Пекулярная кольцеобразная галактика NGC 6745 // Письма в Астрон. журн. 1978. 4. С. 483—486.
6. Каракециев И. Д., Каракециева В. Е., А. Л. Щербанинский. Поверхностные яркости изолированных и двойных галактик // Астрофиз. исслед. (Изв. CAO). 1985. 19. С. 3—13.
7. Geller M. J., Huchra J. P. Groups of galaxies. III: The CfA survey // Astrophys. J. Suppl. Ser. 1983. 52. P. 61—87.
8. Tifft W. Double galaxy investigation. I: Observation // Astrophys. J. Suppl. Ser. 1982. 50. P. 319—390.
9. Baiesi-Pillastrini, Palumbo G. G. C., Vettolani G. Redshifts for Zwicky's near clusters // Astron. and Astrophys. Suppl. Ser. 1984. 56. P. 363—371
10. Rood H. J. A catalogue of galaxy redshifts. Prepr. 1980.
11. Huehmeier W. K., Richter O.-G., Bonnengstengel H.-D., Haushildt M. A general catalog of HI observations of external galaxies: ESO preprint n250, 1983.
12. Каракециева В. Е. Каталог изолированных галактик // Сообщ. CAO. 1973. 8. С. 3—72.

Поступила в редакцию 9 июня 1986 г.